

В. А. Низов

# СВЕРХКРИТИЧЕСКИЕ ТЕХНОЛОГИИ В НЕФТЕГАЗОВОЙ ОТРАСЛИ



УДК 622.323/.324: 536.4

ББК 33.36:22.317

H61

**Низов, В. А.**

**H61** Сверхкритические технологии в нефтегазовой отрасли : монография / В. А. Низов. – Москва ; Вологда : Инфра-Инженерия, 2020. – 116 с.: ил., табл.

ISBN 978-5-9729-0476-1

Дана общая характеристика свойств сверхкритических флюидов. Предложены методы использования сверхкритической воды для добычи углеводородов баженовской свиты и увеличения дебита скважин. Приведены примеры из отечественной практики. Рассмотрены возможности использования выведенных из эксплуатации нефтегазовых скважин для переработки стойких органических загрязнителей.

Для специалистов нефтегазовой отрасли, преподавателей, аспирантов и студентов нефтегазовых направлений подготовки.

УДК 622.323/.324: 536.4

ББК 33.36:22.317

ISBN 978-5-9729-0476-1

© Низов В. А., 2020

© Издательство «Инфра-Инженерия», 2020

© Оформление. Издательство «Инфра-Инженерия», 2020

## ОГЛАВЛЕНИЕ

|  |     |
|--|-----|
| <b>Предисловие .....</b>   | 4   |
| <b>Введение.....</b>   | 5   |
| <b>ГЛАВА I. Сверхкритические флюиды.</b>   |     |
| Физико-химические свойства и особенности структурных связей воды<br>в суб- и суперкритическом состоянии..... | 8   |
| <b>ГЛАВА II. СКВ-процессы в природе и технике .....</b>  | 31  |
| <b>ГЛАВА III. СКВ-технологии применительно к проблемам</b>   |     |
| нефтеизвлечения на поздних стадиях разработки<br>нефтегазовых месторождений.....                             | 48  |
| <b>ГЛАВА IV. Гидрирование в пластовых условиях .....</b>   | 72  |
| <b>ГЛАВА V. Переработка СОЗ с использованием</b>   |     |
| автономных источников водорода<br>и нефтегазодобывающих скважин.....   | 93  |
| <b>Заключение .....</b>  | 107 |
| <b>Библиографические ссылки.....</b>   | 108 |

## ГЛАВА I

### Сверхкритические флюиды. Физико-химические свойства и особенности структурных связей воды в суб- и сверхкритическом состоянии

Критическая точка (точка  $K$  на фазовой диаграмме на рис. 1) относится к фазовому переходу второго рода. При этом изменение состояния вещества происходит непрерывным образом, разделяя докритическую область существования жидкости и газа и сверхкритическую область, в которой нет различий между газом и жидкостью (сверхкритический флюид).

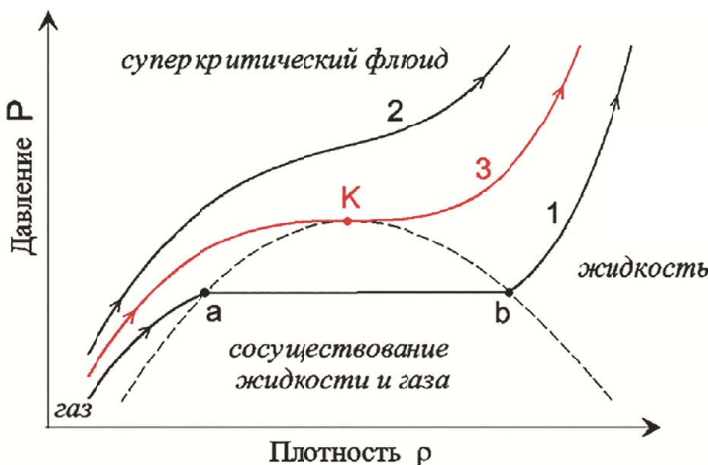
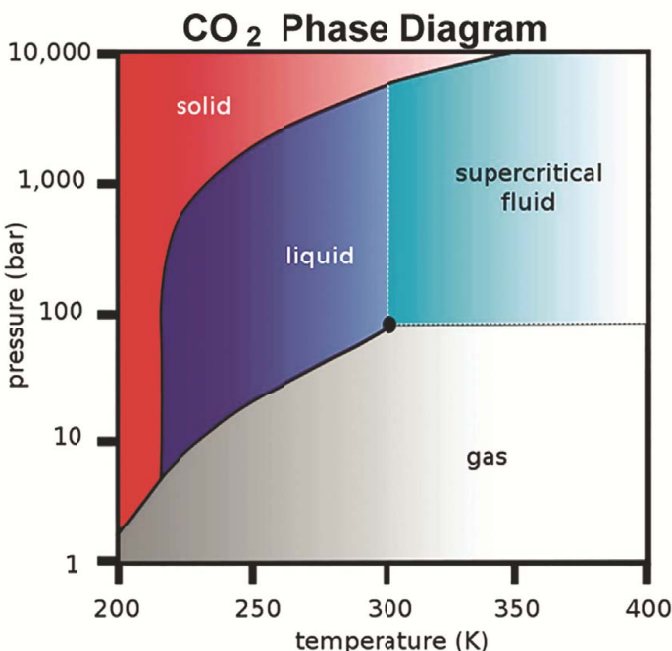


Рис. 1. Типичная фазовая диаграмма  
для химически однородного (чистого) вещества

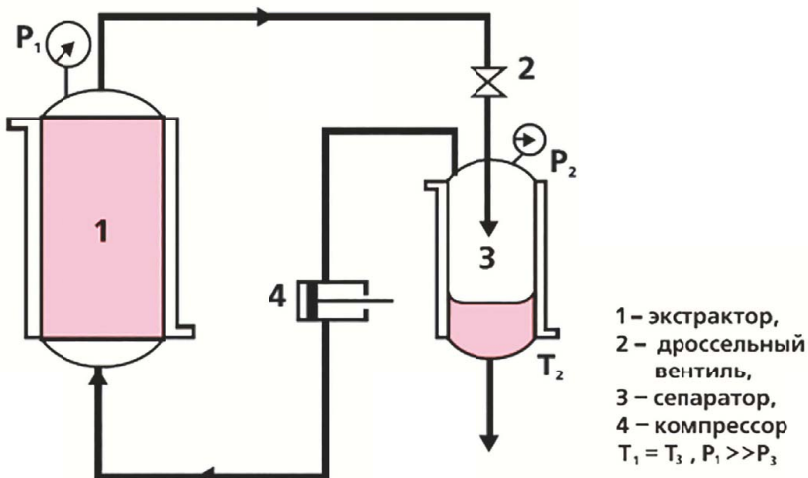
С момента появления этого понятия началось интенсивное развитие сверхкритических технологий. В первую очередь исследователи сосредоточили внимание на высокой растворяющей способности СКФ — на фоне традиционных методов использование сверхкритических флюидов оказалось очень эффективным. СКФ — это не только хорошие растворители, но и вещества с высоким коэффициентом диффузии, т. е. они легко проникают в глубинные слои различных твердых веществ и минералов. Наиболее широко стали применять сверхкритический  $\text{CO}_2$ , который занял лидирующие позиции в мире сверхкритических технологий, поскольку обладает целым комплексом преимуществ. Перевести его в сверхкритическое состояние достаточно легко

( $t_{kp} = 31$  °C,  $P_{kp} = 73,8$  atm), кроме того, он не токсичен, не горюч, не взрывоопасен и к тому же дешев и доступен. С точки зрения технолога CO<sub>2</sub> является идеальным компонентом любого процесса. Особую привлекательность ему придает то, что он является составной частью атмосферного воздуха и, следовательно, не загрязняет окружающую среду. Сверхкритический CO<sub>2</sub> можно считать экологически абсолютно чистым растворителем (*рис. 2*).



**Рис. 2. Фазовая диаграмма диоксида углерода**

Одной из первых обратилась к новой технологии фармацевтическая промышленность, поскольку СКФ позволяли наиболее полно выделять биологически активные вещества из растительного сырья, сохраняя неизменным их состав. Новая технология полностью соответствовала современным санитарно-гигиеническим нормам производства лекарственных препаратов. Кроме того, исключалась стадия отгонки экстрагирующего растворителя и последующей его очистки для повторных циклов. В настоящее время организовано производство некоторых витаминов, стероидов, других препаратов по такой технологии (*рис. 3*).



**Рис. 3. Принципиальная схема сверхкритического экстракционного цикла**

В конце XX столетия СКФ-технологии стали активно внедряться в такие отрасли, как нефтедобыча, нефтепереработка и нефтехимия. СКФ-технология в отечественной нефтепереработке представлена на Ново-Уфимском НПЗ. В установке пропановой деасфальтизации предусмотрена регенерация экстрагента в сверхкритических условиях. В результате расход водяного пара снизился в 1,7–2,1 раза, топлива в 1,1–1,5 раза, воды в 1,5–2,6 раза. При этом общие энергозатраты снизились в 1,5–1,1 раза, а капитальные затраты на реконструкцию окупились менее чем за год. Критические параметры веществ, наиболее часто используемых в качестве сверхкритических растворителей, представлены в таблице 1.

Возможности применения сверхкритических газов для разделения веществ охватывают процессы обработки угля, нефтепродуктов, большую область получения натуральных веществ, включая специальные способы применения: обессоливание морской воды, разделение смесей этанол – вода, регенерация адсорбентов. В связи с быстрыми темпами выработки активной части запасов легкой нефти резко возрос интерес к методам увеличения нефтеотдачи пластов. И если в 70–80-е годы XX века число проектов, реализованных в полевых условиях и направленных на решение проблемы увеличения нефтеотдачи пластов через нагнетание смещающихся углеводородных растворителей, «кинетных» газов и диоксида углерода, было сопоставимо, то в конце XX и начале XXI столетия только метод нагнетания  $\text{CO}_2$  имел устойчивую тенденцию роста.

Таблица 1

**Критические параметры растворителей**

| Растворитель     | Критические параметры        |                            |   |
|------------------|------------------------------|----------------------------|---|
|                  | Температура<br><i>T</i> , °C | Давление<br><i>P</i> , МПа | Плотность<br><i>ρ</i> , кг/м <sup>3</sup> |
| Диоксид углерода | 31,3                         | 7,29                       | 468                                       |
| Аммиак           | 123,3                        | 11,3                       | 235                                       |
| Вода             | 374,4                        | 22,65                      | 322                                       |
| Метанол          | 240,5                        | 7,89                       | 278                                       |
| Этанол           | 243,4                        | 6,30                       | 276                                       |
| Изопропанол      | 235,2                        | 4,70                       | 274                                       |
| Этан             | 32,4                         | 4,83                       | 203                                       |
| Пропан           | 96,8                         | 4,2                        | 217                                       |
| Н-бутан          | 152,0                        | 3,75                       | 225                                       |
| Н-пентан         | 196,6                        | 3,33                       | 232                                       |
| Н-гексан         | 234,2                        | 2,96                       | 234                                       |
| Бензол           | 288,9                        | 4,83                       | 302                                       |
| Хлортрифторметан | 28,8                         | 3,90                       | 579                                       |
| Оксид азота      | 36,5                         | 7,14                       | 450                                       |
| Диэтиловый эфир  | 193,6                        | 3,63                       | 265                                       |

Эффективность применения CO<sub>2</sub> для повышения нефтеотдачи пластов доказана не только экспериментальными и теоретическими работами многочисленных исследователей, но и результатами промышленных испытаний и реализаций. Мировые объемы нефти, которые обречены быть добытыми методами третичной добычи, весьма внушительны и составляют по разным оценкам от 304 до 377 млрд баррелей в год. И именно это является убедительным основанием для повышенного интереса к CO<sub>2</sub> с целью увеличения нефтеотдачи пластов. Заметим, что с середины восьмидесятых годов прошлого столетия по настоящее время объемы целевым образом производимого в США диоксида углерода выросли в 7 раз, а расходы лишь министерства энергетики на показательные проекты в шести штатах в 1993–2003 годы составили около 100 млн долларов. В 2004 году в США доля нефти, дополнительно добытой с помощью CO<sub>2</sub>, составила 206 тыс. баррелей в день, что составило 4 % нефедобычи в целом. По прогнозам министерства энергетики США, добыча

нефти с использованием нагнетания  $\text{CO}_2$  в пласт может увеличиться в 2–4 раза соответственно в 2010–2020 годах [4]. Прогнозы оказались весьма близкими к реальности.

В настоящее время 90 % всех СКФ-технологий ориентированы на использование сверхкритического диоксида углерода, и подавляющее большинство из них связано с производством экстрактов из природного сырья для нужд фармацевтической, пищевой, косметической и парфюмерной промышленности. Для исследователей и производственников доступна определенная линейка лабораторного оборудования, пилотных и промышленных установок, связанных с  $\text{CO}_2$  экстракцией [5, 6].

Достижение сверхкритических параметров в водных системах – более сложная техническая задача. На рис. 4 представлена диаграмма состояния воды. Характер изменения физико-химических свойств представлен на рис. 5.

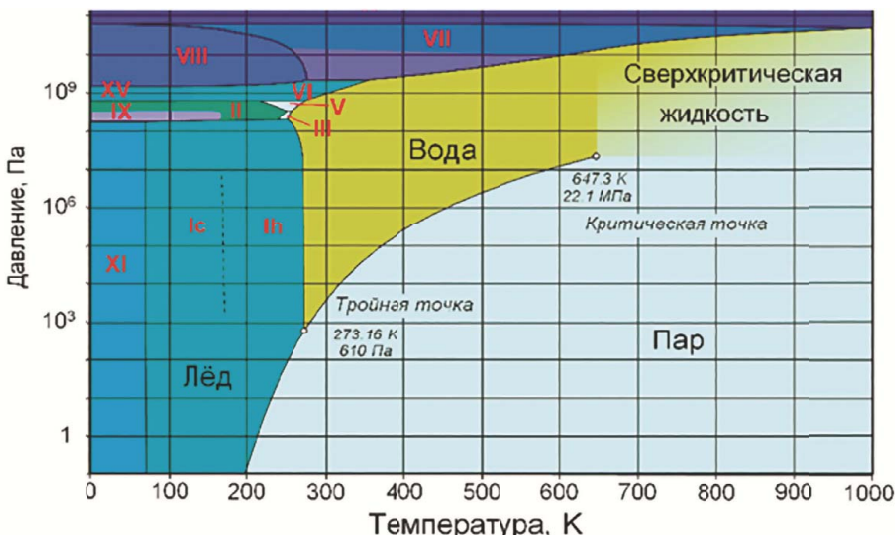
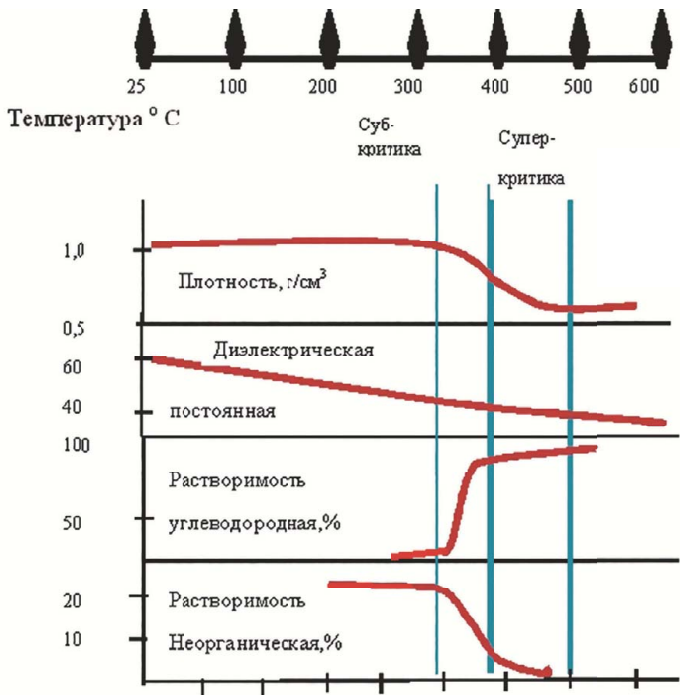


Рис. 4. Фазовая диаграмма воды

Для понимания свойств и возможностей использования сверхкритической воды (СКВ) как растворителя (реагента, катализатора) необходима информация о ее микроструктуре и об особенностях процессов, происходящих на молекулярном уровне. Известно, что вблизи критической точки и кривой насыщения физико-химические свойства СКВ очень чувствительны к изменению параметров состояния. С ростом температуры и давления происходит резкое уменьшение диэлектрической проницаемости, увеличивается растворимость неполярных веществ и снижается растворимость электролитов.



**Рис. 5. Характер изменения физико-химических свойств воды при достижении суб- и суперкритического состояния при 250 атм**

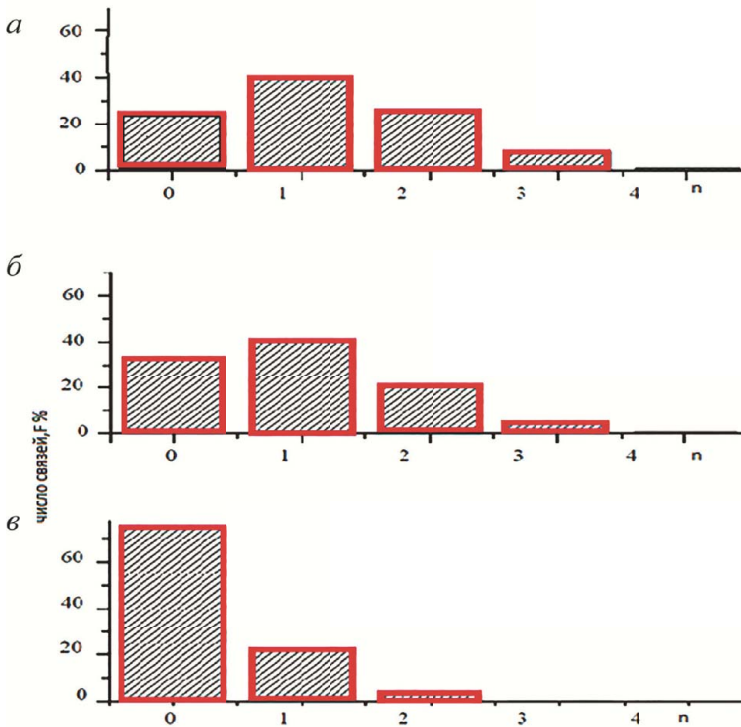
Сверхкритическая вода ведет себя подобно органическим жидкостям с высокой растворяющей способностью органических веществ, которые не растворимы в нормальной воде. При этом даже небольшое изменение температуры может привести к полному растворению или осаждению из раствора оксидов и солей.

Согласно теории, разработанной в [7], усиление аномальной растворяющей способности возникает из-за того, что критическая температура бинарной смеси (вода – органическое вещество) может быть немного ниже критической температуры чистой воды. Благодаря небольшой разнице между этими двумя температурами и проявляются необычные свойства СКВ как растворителя. Вблизи критической точки в структуре воды происходят значительные изменения: разветвленная пространственная сетка водородных связей (ВС) разрушается и превращается в отдельные цепочечные структуры – кластеры, состоящие из 2–4 частиц. Число молекул в таких кластерах возрастает с увеличением плотности. При высоких плотностях ( $T = 680\dots771 \text{ K}$ ;  $\rho = 0,972\dots1,284 \text{ г}/\text{см}^3$ ) все молекулы вновь переходят в водородно связанное состояние, но одновременно с общей бесконечной структурой продолжают существовать изолированные кластеры [8, 9].

Вблизи кривой насыщения система ВС (в ней задействовано большинство частиц) представляет собой устойчивые водородно связанные кластеры, между которыми постоянно возникают кратковременные ВС, то есть является, по сути, единой пространственной сеткой. С ростом температуры эта система превращается в отдельные и уже менее устойчивые кластеры, изолированные друг от друга большим количеством несвязанных молекул. Как можно видеть, в области, близкой к кривой насыщения, водородно связанные частицы существенно преобладают над несвязанными. В субкритической области ( $T < T_{\text{кр}}, P > P_{\text{кр}}$ ; для воды  $T_{\text{кр}} = 647,10 \text{ К}, P_{\text{кр}} = 22,064 \text{ МПа}$ ) доля частиц с двумя ВС превышает долю несвязанных частиц (рис. 6, а). При переходе в сверхкритическую область ( $T > T_{\text{кр}}, P > P_{\text{кр}}$ ) доля несвязанных частиц заметно возрастает, однако вблизи кривой насыщения по-прежнему наиболее велика  $F_1$  (рис. 6, б). По мере роста температуры  $F_0$  продолжает увеличиваться, а  $F_1$  снижается. В сверхкритической области, далекой от кривой насыщения, преобладают несвязанные частицы (рис. 6, в). В области, удаленной от кривой насыщения, картина другая. Большинство частиц не участвует в образовании ВС, поэтому существующие кластеры из 2–3 молекул пространственно разделены и друг с другом не связаны. Единая сетка ВС исчезает. Водородно связанные конфигурации становятся менее устойчивыми, чем вблизи кривой насыщения [10].

Экспериментально установлено, что скорость и селективность процесса окисления некоторых углеводородов возрастает с увеличением давления, т. е. плотности сверхкритической воды [11]. Низкая вязкость и одновременно высокая диффузионная способность сверхкритической воды исключительно важны и лежат в основе практического использования в процессах окисления стойких органических загрязнителей. При сверхкритическом состоянии параметры воды (плотность, диэлектрическая проницаемость, константа ионизации) изменяются на порядок (рис. 5).

При этом происходит качественное обращение в противоположных направлениях растворимости органических и неорганических веществ [12]. Образуется среда с промежуточными свойствами между газом и жидкостью, в которой из-за резкого снижения константы диссоциации происходит смена ионного процесса реакций на радикальный. При этом в присутствии окислителей происходит конверсия углеводородов до окиси углерода, метана, водорода и других неполярных веществ. Скорость реакций в условиях сверхкритических параметров водной среды соизмерима со скоростью аналогичных реакций при горении топлив на воздухе с температурой во фронте горения 2300–2800 К. Полнота химических превращений и их высокие скорости в процессах сверхкритического водного окисления прежде всего характерны для веществ, хорошо растворяющихся в сверхкритических флюидах воды.



**Рис. 6. Распределения молекул по числу водородных связей, при  $P$ , МПа, и  $T$ , К:**

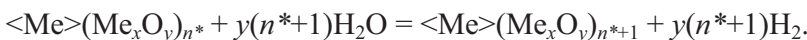
*а –  $P = 30$ ;  $T = 600$ ; б –  $P = 30$ ;  $T = 650$ ; в –  $P = 30$ ;  $T = 750$ ;  $n$  – число ВС на молекулу*

Эти превращения связаны как с уникальными свойствами сверхкритической воды, так и с тем, что реакции протекают в условиях молекулярной дисперсности реагентов, находящихся в гомогенном высокотемпературном флюиде. Во многих случаях реакции окисления органики экзотермичны, что позволяет эффективно использовать тепло самих реакций как для поддержания температурного режима процесса, так и для компенсации энергозатрат на разогрев реагентов. По литературным оценкам, метод сверхкритического водного окисления может претендовать на наиболее высокую экологическую и экономическую эффективность благодаря одностадийному окислению органических веществ до безвредных продуктов и выделению из раствора неорганических соединений в виде оксидов или солей без опасности загрязнения окружающей среды. При обработке смеси органических и неорганических соединений, содержащих вредные вещества, сверхкритической водой они, как правило, превращаются в экологически безопасные воду и углекислый газ.

Азотсодержащие органические соединения и аммонийные вещества разлагаются с выделением газообразного азота. Хлор, фтор, фосфор и сера из

органических веществ образуют кислотные остатки и легко выделяются в виде солей при добавлении в раствор соответствующих катионов, в то время как при высокотемпературном сжигании образуются оксиды азота, высокотоксичные диоксины, бензофураны и бифенилы, требующие нейтрализации. При сверхкритическом водном окислении эти вещества не образуются [13].

Интересные факты исследования кинетики и механизмов окисления массивных образцов цинка, алюминия, циркония и вольфрама водой и смесью  $\text{H}_2\text{O}/\text{CO}_2$  при суб- и сверхкритических параметрах представлены в [14]. Основной особенностью окисления металлов плотным паром и флюидом воды оказалось то, что защитная пленка оксида металла не образуется, а процесс развиваётся вглубь образца с образованием наночастиц оксида металла. При достаточном количестве окислителя (воды) металл полностью переходит в порошок агломерированных частиц оксида. При недостатке окислителя в наночастицах оксида сохраняются металлические кластеры, и при определенных условиях формируется металлокерамика. Образование зародышей новой фазы происходит при реакциях коллективного взаимодействия атомов металла и молекул  $\text{H}_2\text{O}$ . Например, при окислении цинка зародышем новой фазы является, по-видимому, кластер  $(\text{ZnO})_{n^*}$  размером  $n^* = 4\text{--}6$ , а при окислении алюминия – молекула  $\text{Al}_2\text{O}_3$ . Дальнейший рост наночастиц происходит при экзотермической реакции:



Необходимым условием протекания реакций окисления является высокая плотность молекул  $\text{H}_2\text{O}$ . Наноструктурирование, по мнению авторов, обусловлено дефектами кристаллической структуры металла, контактной разностью электрического потенциала на границе металл / оксид металла и сравнимой величиной скорости образования зародышей новой фазы и их дальнейшего роста. В сверхкритическом  $\text{CO}_2$  металл окисляется только на поверхности. Однако при достаточном разбавлении  $\text{CO}_2$  водой наноструктурирование протекает интенсивно. При этом вместе с  $\text{H}_2$  образуются формальдегид, низшие углеводороды и спирты. Это, по-видимому, является следствием полярности молекул  $\text{H}_2\text{O}$  и  $\text{CO}_2$ , ориентация которых в электрическом поле контактной разности потенциалов на границе металл / оксид металла способствует синтезу органических веществ.

Вполне объяснимо, что практическое использование возможностей СКВ-процессов и создание на их основе технологий невозможно без моделирования в лабораторных условиях. Значимый прогресс в этом аспекте обозначился в последние десятилетия. Типичная конструкция реактора для реализации процессов в условиях сверхкритической воды представлена на *рис. 7*.